

Sveučilište u Zagrebu

Građevinski fakultet

Diplomski sveučilišni studij

Smjer: GEOTEHNIKA

# Temelji na pilotima 1

Prof. dr. sc. Tomislav Ivšić  
Građevinski fakultet Zagreb



# Svrha, vrste i izvedba pilota

- Piloti su uspravni ili gotovo uspravni stupovi izgrađeni sa svrhom da prenesu opterećenje građevine u dublje bolje nosive slojeve tla
- Zabijanje – povijesni način izvedbe
- Bušenje – iz naftne industrije (bitna i za razvoj projektnih tehnika)

# Iz povijesti pilota 1a - sojenice

**Sojenice** (njem: Pfahlbauten; engl: Pile dwellings)

– sačuvane u alpskom području, cca 5000-500 g. prije Krista, drveni piloti



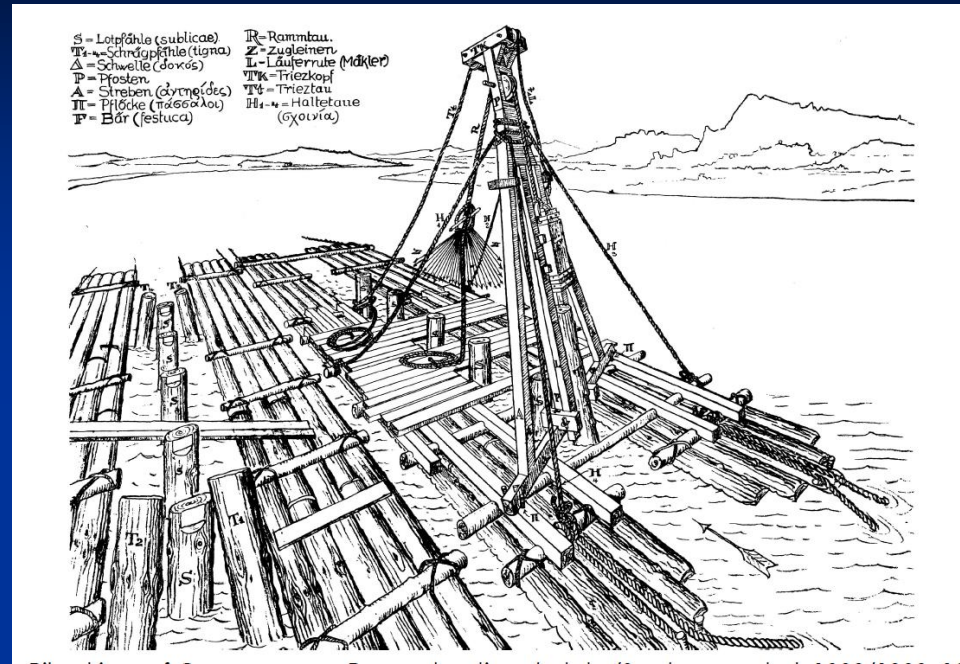
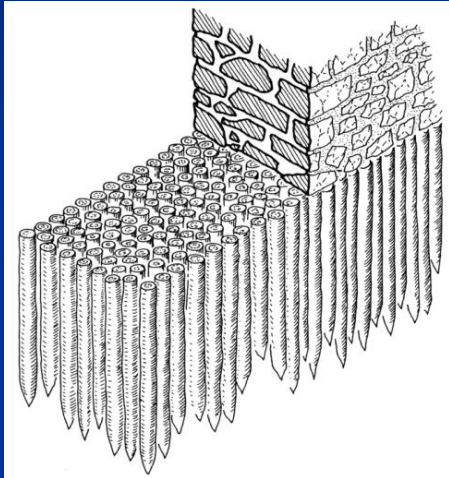
# Iz povijesti pilota 1b - sojenice



# Iz povijesti pilota 2

## PILOTI - stari RIM

**pali** – tanki kolci ispod kamenih ili zidanih temelja, ručno zabijanje



### *Subpublicae*

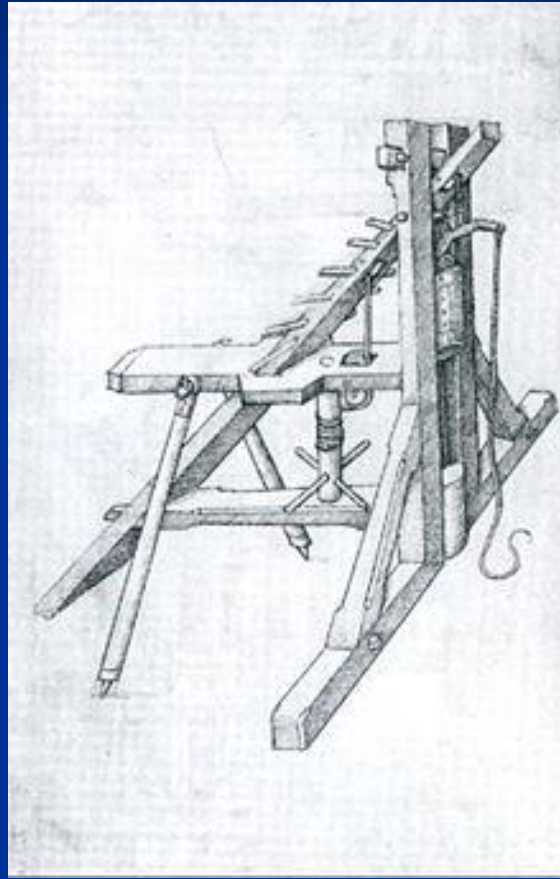
– deblji stupovi ( promjera i do 1 stope tj. cca 30cm ), strojno zabijanje

### IZVORI:

- Caesar: *De bello Galico*
- Vitruvije: *Deset knjiga o arhitekturi*

# Iz povijesti pilota 3

Stari i srednji vijek – strojevi za zabijanje pilota



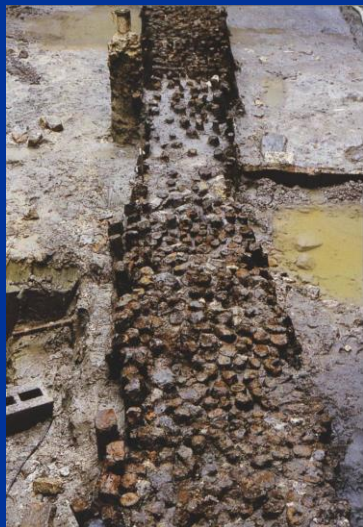
Oko 1480. god



Rekonstrukcija stroja ('machinae') za zabijanje pilota iz starog Rima

# Iz povijesti pilota 4

Srednjevjekovni europski gradovi – drveni piloti u temeljima zgrada

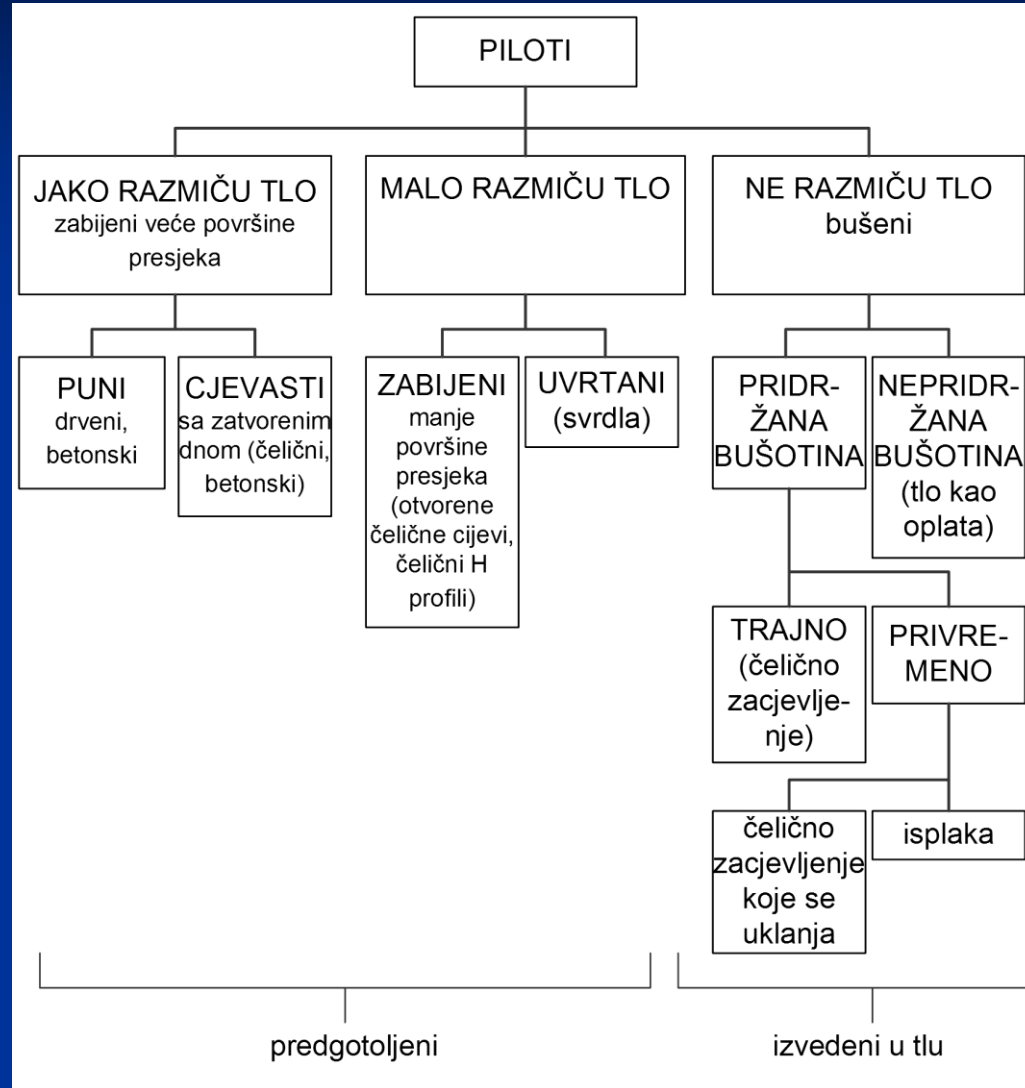


Venecija – drveni piloti u temeljima srednjevjekovnih palača, (14. stolj., - prema Ceccato et al 2013)

Dubrovnik - uzorci drvenih pilota pronađeni ispod kamenih temelja u atriju Kneževa dvora (16.stoljeće - prema Topić i dr, 2018)



# Vrste i izvedba pilota



Slika 6-1 Jedno od mogućih razvrstavanja pilota  
(prema Simons i Menzies, 2000)

# Postupci izvedbe pilota - popis prema :

## <http://www.geoforum.com/info/pileinfo/>

### BUŠENI PILOTI

- » [Bade System](#)
- » [Benoto System](#)
- » [Brechtel System](#)
- » [Casagrande System](#)
- » [Drill-and-drive Pile](#)
- » [Franki Excavated Pie](#)
- » [Held-Franke System](#)
- » [Hochstrasser-Weise System](#)
- » [Hydrofraise](#)
- » [Icos Veder System](#)
- » [Lind-Calweld Pile](#)
- » [Lorenz Pile](#)
- » [Mini pile](#)
- » [Monierbau Pile](#)
- » [Prestcore](#)
- » [Rolba Pile](#)
- » [Small diameter bored pile](#)
- » [Soilex System](#)
- » [Wolfholz System](#)

### ZABIJENI PILOTI

- » [Alpha Pile](#)
- » [Button-bottom Pile](#)
- » [Daido SS Pile](#)
- » [Delta Pile](#)
- » [Drill-and-drive Pile](#)
- » [Compressol Pile](#)
- » [Franki Composite Pile](#)
- » [Franki Pile](#)
- » [Franki Pile with casing top driven](#)
- » [Lacor Pile](#)
- » [Mast System](#)
- » [Millgard Shell Pile](#)
- » [Mini pile](#)
- » [Multiton Pile](#)
- » [MV-pile](#)
- » [Pieux Choc](#)
- » [Precast Concrete Pile](#)
- » [Jointed Concrete Pile](#)

### » [Prestressed Concrete Pile](#)

### » [Precast Reinforced Concrete Pile](#)

### » [Raymond Pile](#)

### » [Rolba Pile](#)

### » [Steel-concrete \(SC\) Composite Pile](#)

### » [Sheet Pile](#)

### » [Simplex System](#)

### » [Soilex System](#)

### » [Steel pile](#)

### » [Steel Box Pile](#)

### » [Steel-H Pile](#)

### » [Hollow precast concrete pile with timber/steel core](#)

### » [Steel Tube Pile](#)

### » [Timber Pile](#)

### » [Westpile Shell Pile](#)

### » [Vibrex Cast-In-Situ Pile](#)

### » [X-pile](#)

### » [Zeissl System](#)

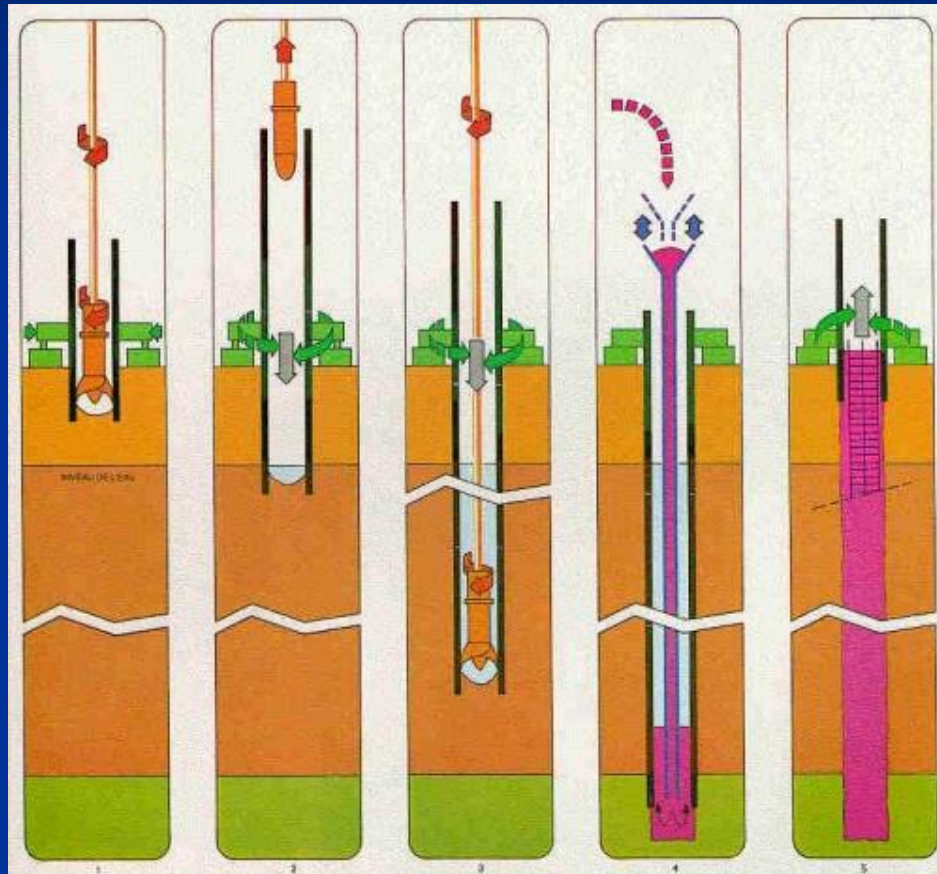
### UVRTANI PILOTI

- » [Atlas Pile](#)
- » [Franki VB Pfahl](#)
- » [Fundex Pile](#)
- » [Pressodrill](#)
- » [SVB Pile](#)
- » [SVV Pile](#)
- » [Tubex Pile](#)

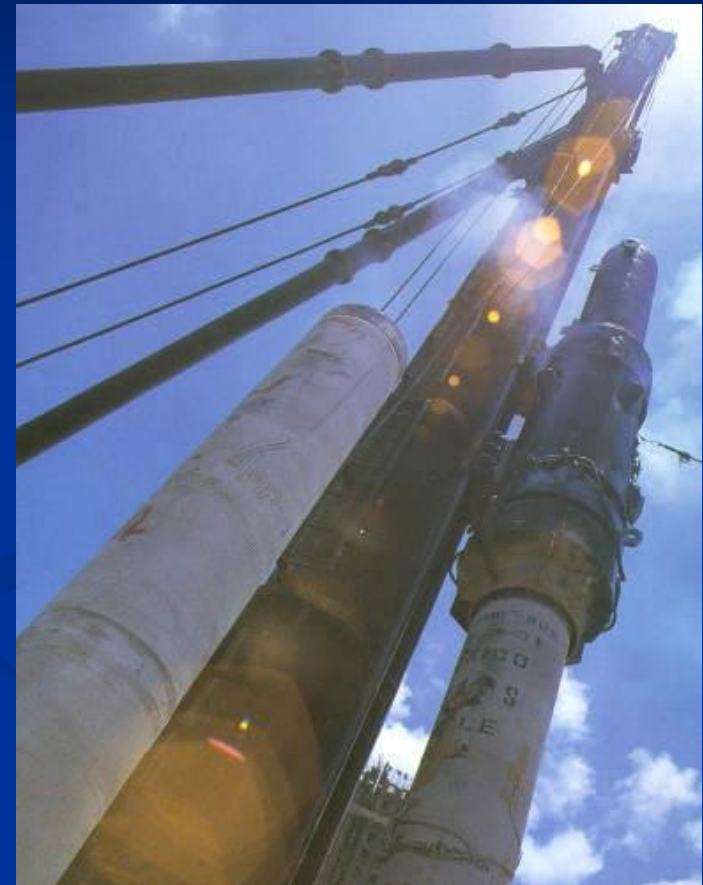
### SVRDLANI PILOTI

- » [Continuous Flight Auger \(CFA\) System](#)
- » [Starsol Pile](#)

# Postupci izvedbe pilota - bušeni piloti velikog promjera



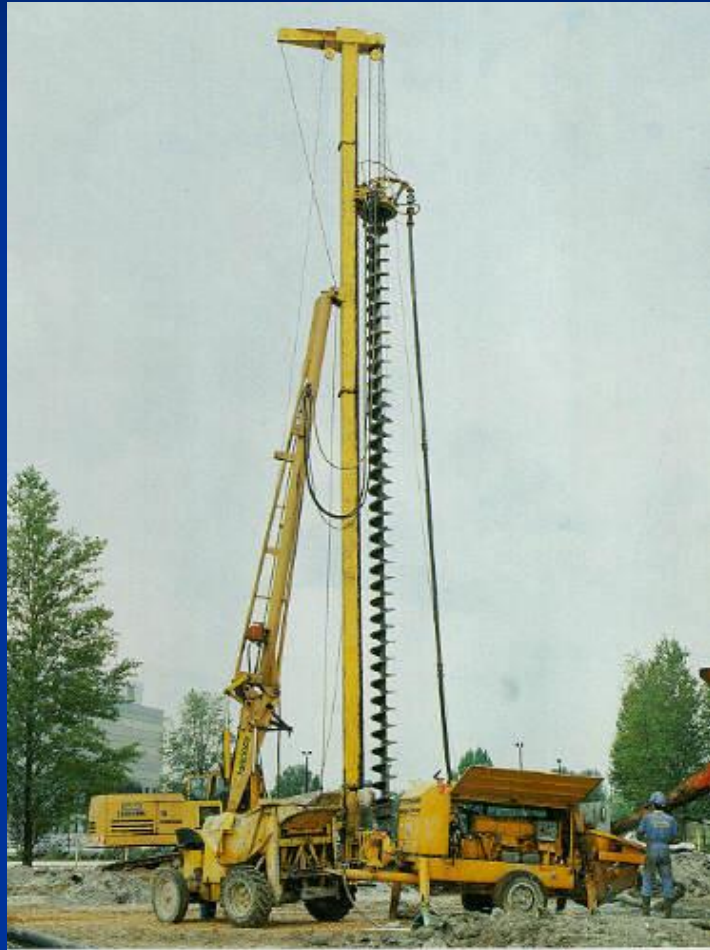
# Postupci izvedbe pilota - zabijeni piloti



# Postupci izvedbe pilota - zabijeni piloti

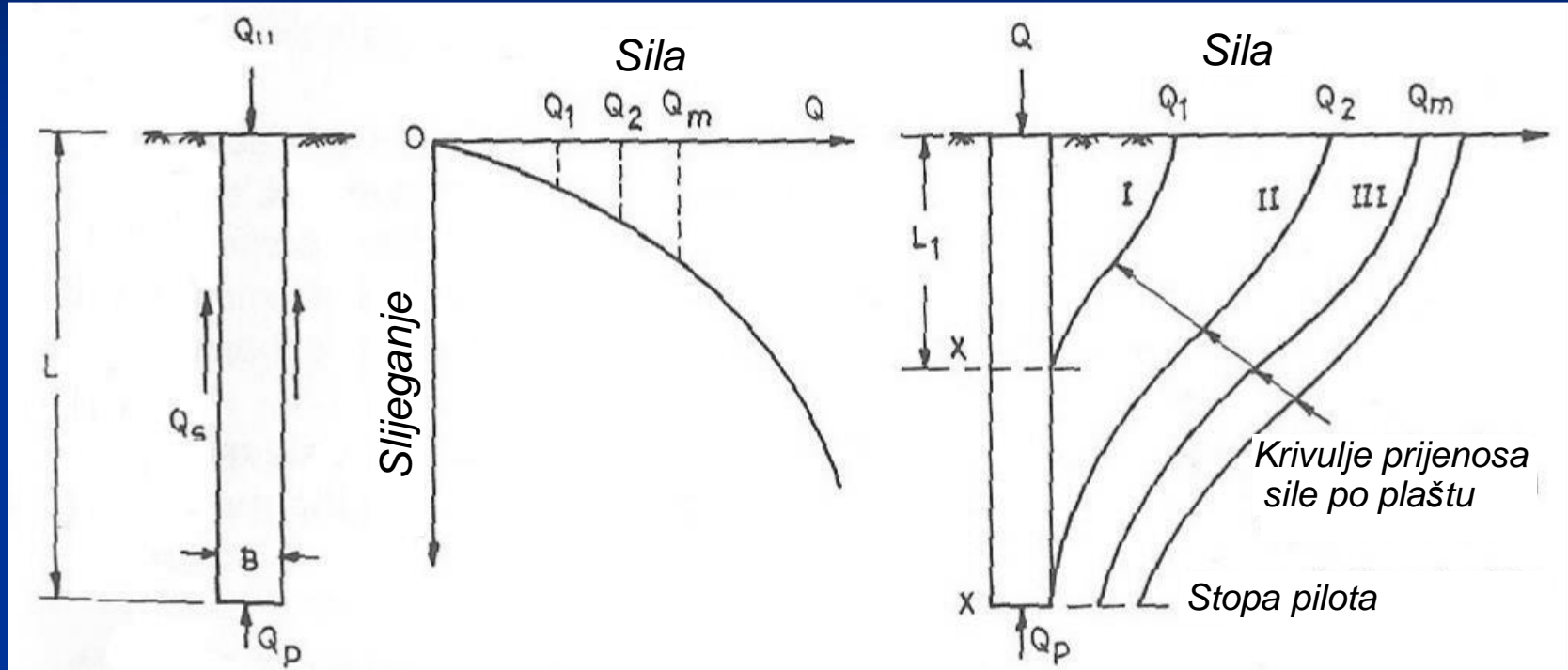


# Postupci izvedbe pilota - svrđlani piloti



# Uzdužno opterećeni piloti

## Mehanizam prijenosa opterećenja kroz pilot u tlo



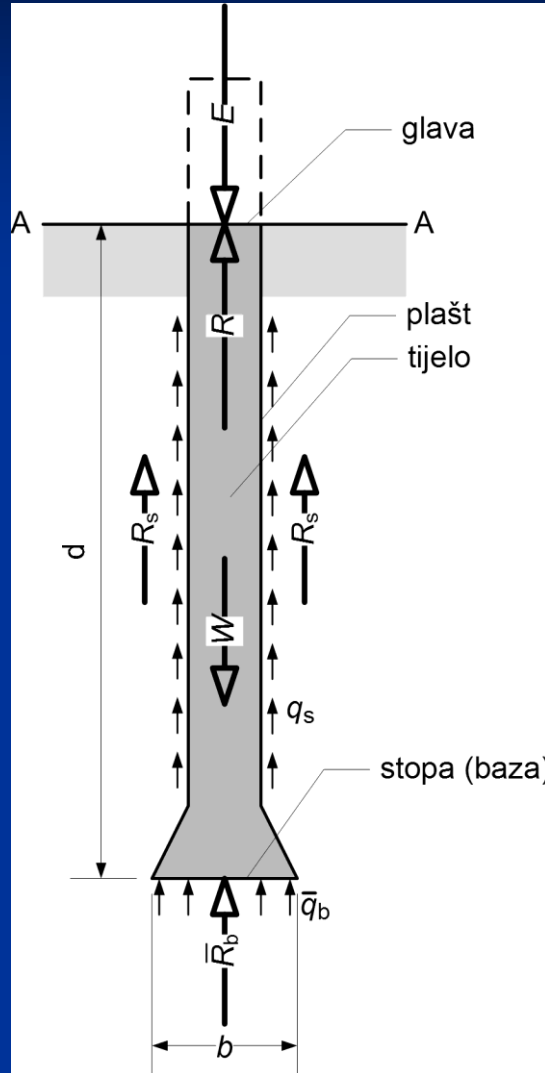
a) Pilot

b) Krivulja sile – slijeganje

c) Krivulje prijenosa sile

# Uzdužno opterećeni piloti

Nosivost pojedinačnog pilota na uzdužno opterećenje



$$R = \bar{R}_b - W + R_s$$

$$\bar{R}_b = \bar{q}_b A_b$$

$$R_s = \int_0^d q_s C dy$$

$$q_b = \frac{R_b}{A_b} = \frac{\bar{R}_b - W}{A_b}$$

$$W \approx \sigma_{y:y=d} A_b$$

$$q_b = \bar{q}_b - \sigma_{y:y=d}$$

$$R = R_b + R_s = q_b A_b + \int_0^d q_s C dy$$

Reducirana nosivost na stopi

$$\bar{q}_b = c N_c + \frac{1}{2} b \gamma N_y + \sigma_{y:y=d} N_q$$

$$q_b = c N_c + \sigma_{y:y=d} (N_q - 1)$$

Nedrenirano

$$q_b = c_u N_c$$

Drenirano

$$q_b = \sigma'_{y:y=d} (N_q - 1)$$

Jedinični otpor na plaštu

$$q_s = a + \sigma_x \tan \delta$$

$$q_s = \alpha c_u$$

$$q_s = \beta \sigma_y'$$

Nedrenirano

Drenirano

Slika 6-2 Uzdužno opterećeni piloti

# Nosivost pojedinačnog pilota na uzdužno opterećenje

Empirijski izrazi za jediničnu otpornost na stopi i jediničnu otpornost na plaštu pojedinačnog pilota

vrsta pilota	nedrenirano stanje (sitnozrna tla)	drenirano stanje (krupnozrna tla)
zabijeni (API 1987)	$q_b = 9c_u$ ( $c_u$ odrediti kao srednju vrijednost u području $d \leq y \leq d + 2b$ ) $q_s = \alpha c_u$ $\alpha = 0.5 \left( \frac{c_u}{\sigma'_y} \right)^{-0.5}$ za $\frac{c_u}{\sigma'_y} \leq 1$ $\alpha = \min \left( 1, 0.5 \left( \frac{c_u}{\sigma'_y} \right)^{-0.25} \right)$ za $\frac{c_u}{\sigma'_y} > 1$	$q_b = \sigma'_{y;y=d}(N_q - 1)$ $q_s = K \sigma'_y \tan \delta$ ( $K = 0.8$ cjevasti pilot $K = 1.0$ puni pilot)

# Nosivost pojedinačnog pilota na uzdužno opterećenje

Empirijski izrazi za jediničnu otpornost na stopi i na plaštu pojedinačnog pilota

bušeni (Rees i dr. 2006)	$q_b = \frac{2}{3} \left( 1 + \frac{1}{6} \frac{d}{b} \right) c_u N_c \quad \text{za } \frac{d}{b} < 3$ $q_b = c_u N_c \quad \text{za } \frac{d}{b} \geq 3$ <table style="margin-left: 100px;"> <tr><td><math>c_u</math> (MPa)</td><td><math>N_c</math></td></tr> <tr><td>0.025</td><td>6.5</td></tr> <tr><td>0.050</td><td>8.0</td></tr> <tr><td>0.100</td><td>8.7</td></tr> <tr><td>0.200</td><td>9.0</td></tr> </table> <p>(za <math>c_u &gt; 0.2</math> MPa tretiraj tlo kao stijenu)</p> $q_s = \alpha c_u$ $\alpha = 0.55 \quad \text{za } \frac{c_u}{p_a} \leq 1.5$ $\alpha = 0.55 - 0.1 \left( \frac{c_u}{p_a} - 1.5 \right)$ $\text{za } 1.5 \leq \frac{c_u}{p_a} \leq 2.5$ $\text{za } \frac{c_u}{p_a} > 2.5 \quad \text{tretiraj tlo kao stijenu;}$ $p_a = 0.1 \text{ MPa}$ <p>zanemari gornjih 1.5 m ispod površine terena i donjih <math>b</math> m u sitnozrnnom tlu</p>	$c_u$ (MPa)	$N_c$	0.025	6.5	0.050	8.0	0.100	8.7	0.200	9.0	$q_b = 60N_{60} \frac{d}{10b} \quad \text{za } \frac{d}{b} \leq 10$ $q_b = 60N_{60} \quad \text{za } \frac{d}{b} > 10$ $\max q_b = 3.0 \text{ MPa}$ $q_s = \beta \sigma_y'$ $\max q_s = 0.2 \text{ MPa}$ <p><u>pjesak</u></p> $\beta = \min \left( 0.25, \bar{N} \left( 1.5 - 0.25 \left( y(m) \right)^{0.5} \right) \right)$ $\bar{N} = \frac{N_{60}}{15} \quad \text{za } N_{60} < 15$ $\bar{N} = 1 \quad \text{za } N_{60} \geq 15$ <p><u>šljunak</u></p> $\beta = \bar{\beta} \quad \text{za } 0.25 \leq \bar{\beta} \leq 1.8$ $\beta = 0.25 \quad \text{za } \bar{\beta} < 0.25$ $\beta = 1.8 \quad \text{za } \bar{\beta} > 1.8$ $\bar{\beta} = 2 - 0.15 \left( y(m) \right)^{0.75}$ <p><u>vlačni pilot</u></p> $q_{s,vlak} \sim 0.75 q_{s,tak}$ <p>Pouzdanost za <math>q_s: \pm 30\%</math></p>
$c_u$ (MPa)	$N_c$											
0.025	6.5											
0.050	8.0											
0.100	8.7											
0.200	9.0											

# Nosivost pojedinačnog pilota na uzdužno opterećenje

Tablica 6-2 Raspon vrijednosti koeficijenta  $N_q - 1$  za proračun jedinične otpornosti na stopi pilota  $q_b$  u efektivnim naprezanjima (Fellenius 1999)

Vrsta tla	efektivni kut trenja $\varphi'(^{\circ})$	$N_q - 1$ (*)
glina	25-30	3-30
prah	28-34	20-40
pijesak	32-40	30-150
šljunak	35-45	60-300

(\*) služi za proračun  $q_b = \sigma'_{y;y=d}(N_q - 1)$

Tablica 6-3 Raspon vrijednosti koeficijenta  $\beta$  za proračun jedinične otpornosti na plaštu pilota  $q_s$  u efektivnim naprezanjima (Fellenius 1999)

Vrsta tla	efektivni kut trenja $\varphi'(^{\circ})$	$\beta$ (*)
glina	25-30	0.25-0.35
prah	28-34	0.27-0.50
pijesak	32-40	0.30-0.60
šljunak	35-45	0.35-0.80

(\*) služi za proračun  $q_s = \beta\sigma'_{y;y=d}$

# Nosivost pojedinačnog pilota na uzdužno opterećenje

Tablica 6-4 Ovisnost jedinične otpornosti na stopi i na plaštu bušenih pilota u krupnozrnom tlu (DIN 1054); dubina ukopavanja u nosivo tlo barem 2.5 m, promjer pilota između 0.3 i 3 m, piloti izvedeni uz pomoć zacjevljenja ili isplake, nosivo tlo ispod stope barem 3b ili 1.5 m

Prosječna vrijednost otpora šiljka CPT, $q_c$ (MPa)	$q_b$ (MPa)	$q_s$ (MPa)
0		0
5		0.04
10	2	0.08
15	3	0.12
20	3.5	0.12
25	4	0.12

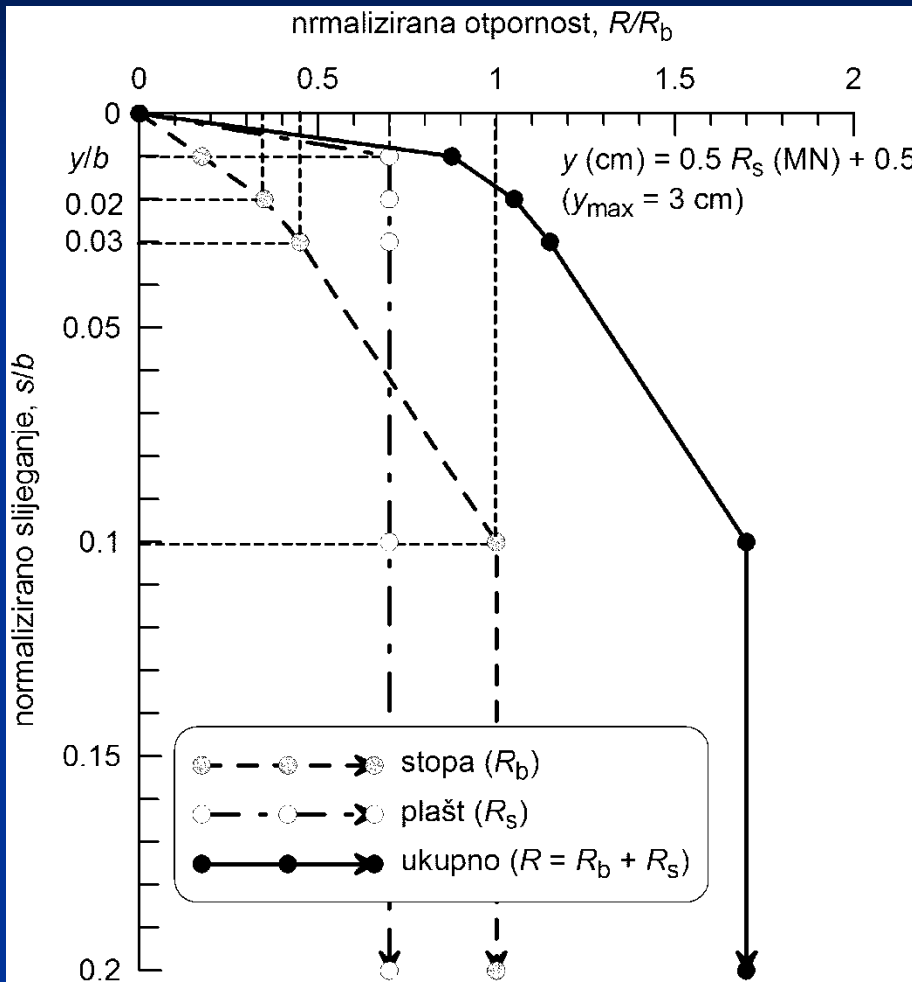
Tablica 6-5 Ovisnost jedinične otpornosti na stopi i na plaštu bušenih pilota u sitnozrnom tlu (DIN 1054); dubina ukopavanja u nosivo tlo barem 2.5 m, promjer pilota između 0.3 i 3 m, piloti izvedeni uz pomoć zacjevljenja ili isplake, nosivo tlo ispod stope barem 3b ili 1.5 m

nedrenirana čvrstoća, $c_u$ (MPa)	$q_b$ (MPa)	$q_s$ (MPa)
0.025		0.025
0.10	0.8	0.040
0.20	1.5	0.060
veće od 0.20		0.060

Tablica 6-6 Ovisnost jedinične otpornosti na stopi i na plaštu bušenih pilota u stijeni (DIN 1054); dubina ukopavanja u nosivo tlo barem 2.5 m, promjer pilota između 0.3 i 3 m, piloti izvedeni uz pomoć zacjevljenja ili isplake, nosivo tlo ispod stope barem 3b ili 1.5 m

jednoosna čvrstoća, $q_u$ (MPa)	$q_b$ (MPa)	$q_s$ (MPa)
0.5	1.5	0.08
5.0	5.0	0.50
20.0	10.0	0.50

# Slijeganje pojedinačnog pilota pod uzdužnim opterećenjem i aktiviranje komponenti otpornosti



Tablica 6-7 Normalizirane otpornosti tla na stopi pilota  $\frac{R_b(s)}{R_b(s=0.1b)}$  ovisno o normaliziranom slijeganju s/b pilota za različito zbijena krupnozrna tla;  $s$  = slijeganje pilota,  $b$  = promjer pilota

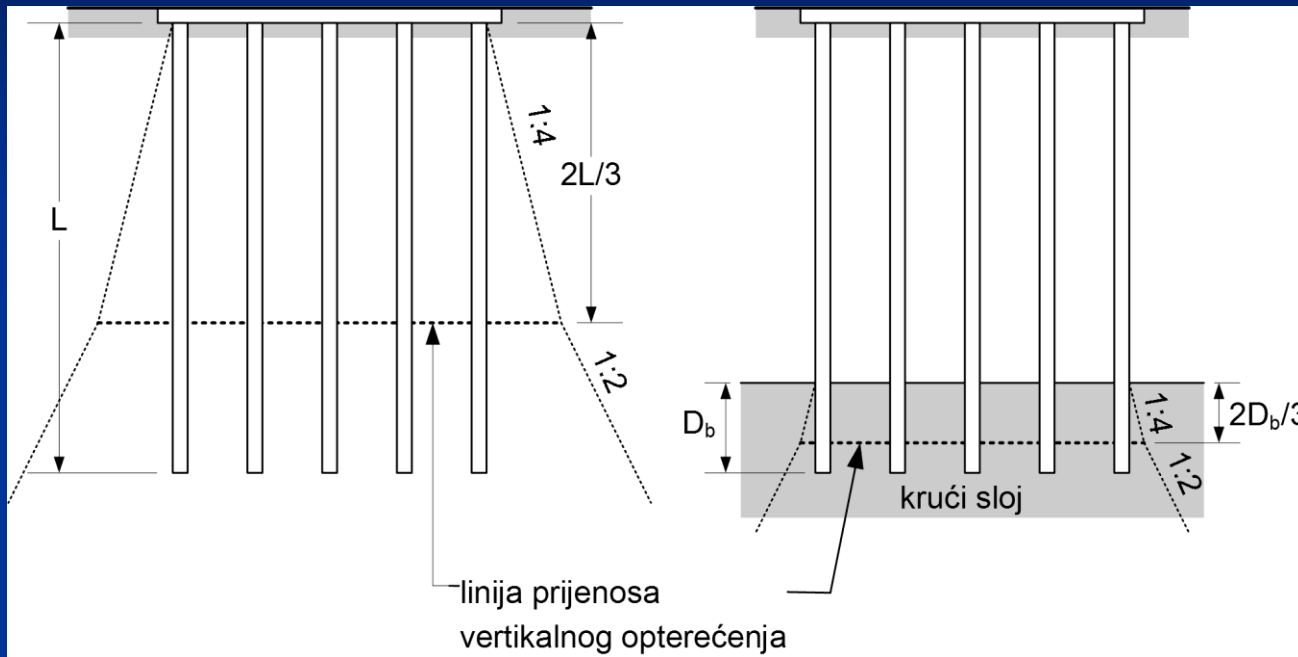
$s/d$	srednje zbijeni		dobro zbijeni		Rees, O'Neill (1988)		
	(DIN 1054:2005)						
	otpor šiljka CPT-a, $q_c$ (MPa)		10	15	20	25	
0	0	0	0	0	0	0	0
0.02	0.35	0.35	0.40	0.44	0.44	0.37	0.37
0.03	0.45	0.45	0.51	0.56	0.56	0.51	0.51
0.10	1.00	1.00	1.00	1.00	1.00	1.00	1.00

Tablica 6-8 Normalizirane otpornosti tla na stopi pilota  $\frac{R_b(s)}{R_b(s=0.1b)}$  ovisno o normaliziranom slijeganju s/b pilota za sitnozrna tla različitih nedreniranih čvrstoća;  $s$  = slijeganje pilota,  $b$  = promjer pilota

$s/d$	srednje do teško gnječivo		Rees, O'Neill (1988)	
	(DIN 1054:2005)			
	nedrenirana čvrstoća, $c_u$ (MPa)	polučvrsto		
0	0.10	0.20	0	
0.02	0.44	0.60	0.77	
0.03	0.56	0.73	0.88	
0.10	1.00	1.00	1.00	

Slika 6-3 Idealizirani oblik normaliziranih krivulja slijeganja za otpornost tla na stopi, na plaštu i čitav pilot (prema DIN 1054:2005)

# Otpornost i slijeganje tla za vertikalno opterećenu grupu pilota



- Empirijske procjene
- Empirijski korekcijski koeficijenti

Slika 6-4 Uz približni proračun raspodjele vertikalnih naprezanja ispod grupe pilota:

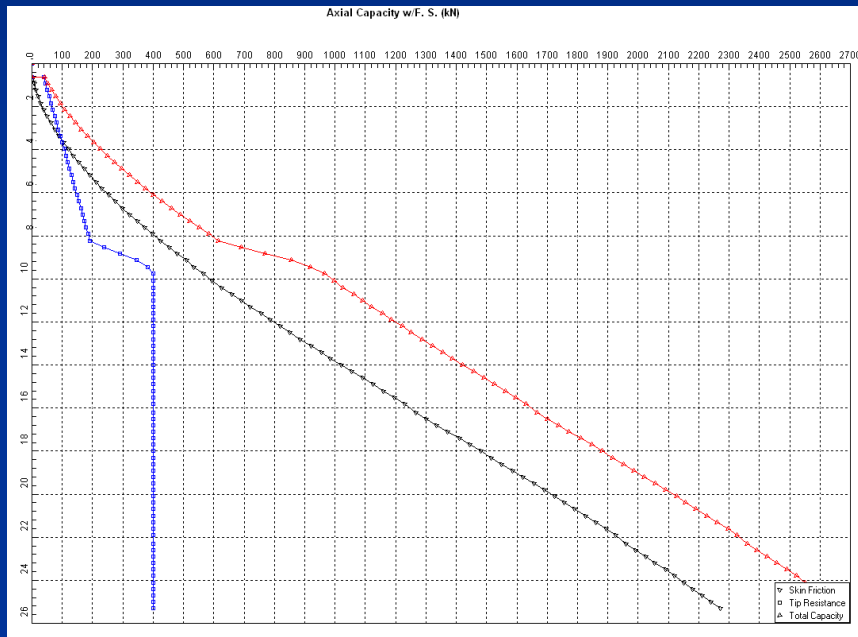
- u tlu približno homogene krutosti ("plutajući" piloti), i
- za slučaj kad piloti prenose vertikalno opterećenje u krući sloj (piloti koji nose preko kraja)

Negativno trenje – uslijed slijeganja tla, relativni pomaci tla i pilota

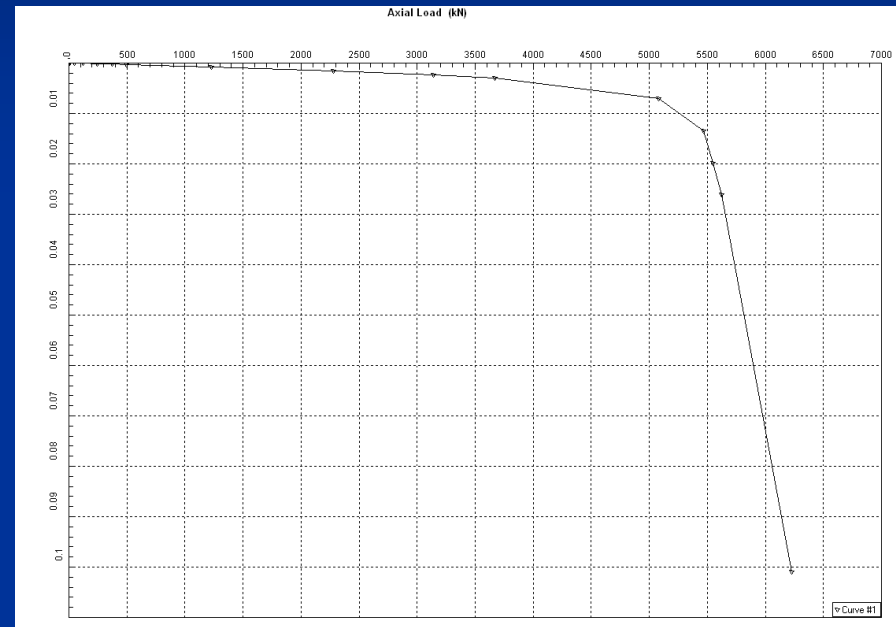
- povećava uzdužnu silu u pilotu, do pune veličine otpornosti na plaštu

# Proračun vertikalne nosivosti pilota

D=1.00m L = 25m



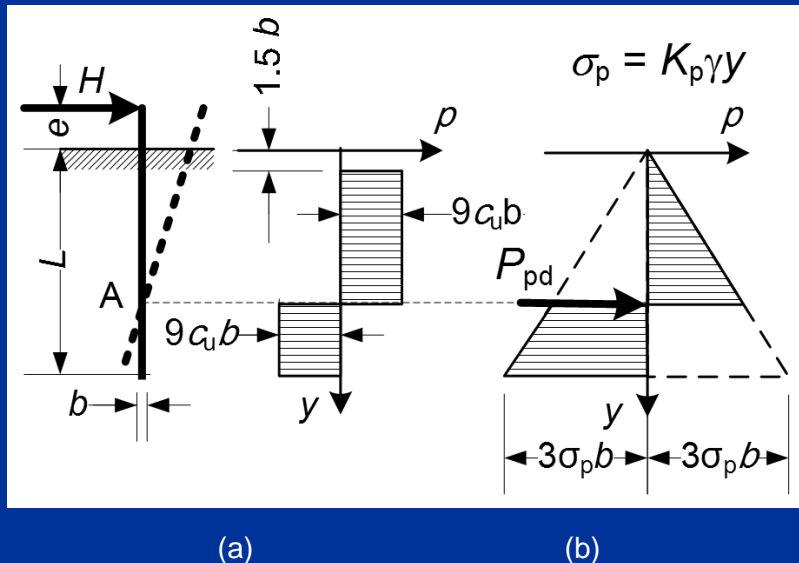
Nosivost na plaštu i stopi pilota,  
ukupna nosivost



Dijagram sila-pomak na vrhu pilota

# Poprečno opterećeni piloti

- Primjer interakcije temeljne konstrukcije (pilota) i okolnog tla
- Interakcija – kompatibilnost sila i pomaka elemenata na sučelju
- razlikuju se tipični slučajevi prema omjeru krutosti tla i pilota:
  - a) kruti piloti (obično i kratki –  $L < 3-5D$ ) – mjerodavna nosivost tla
  - b) savitljivi piloti (obično dulji –  $L > 9-12 D$ ) – mjerodavna nosivost presjeka pilota  
( međudjelovanje tla i pilota –interakcija- jako izražena )



## KRUTI PILOT

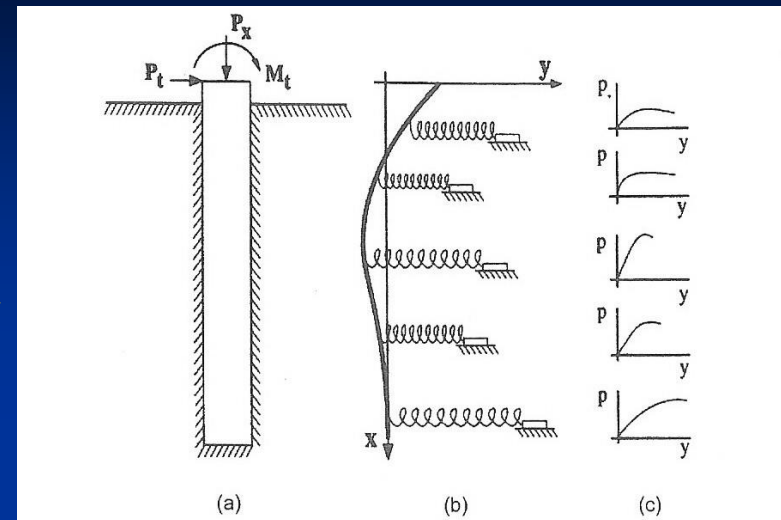
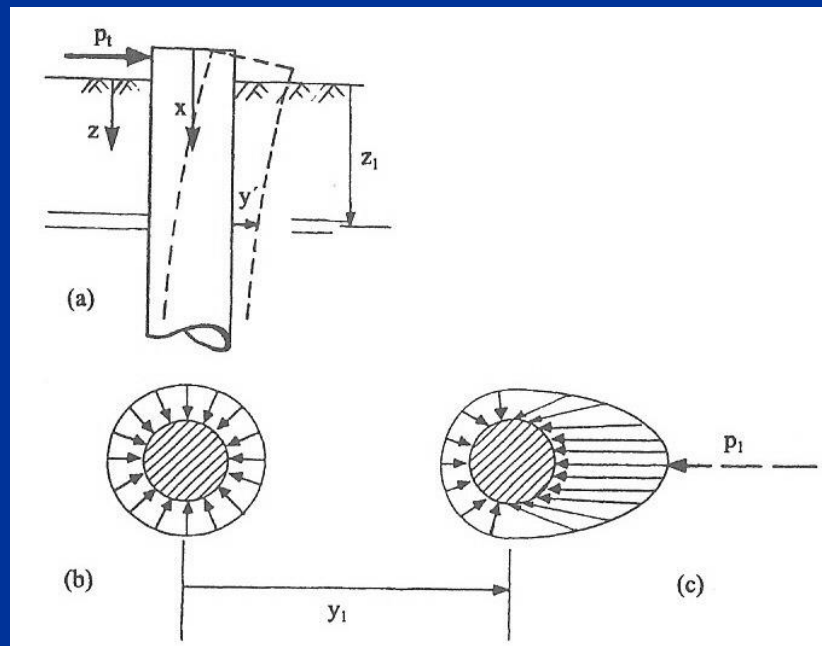
Slika 6-5 Raspodjela podijeljenog otpora  $p$  pri slomu tla vodoravno opterećenog pilota promjera  
b: (a) sitnozrno tlo, nedrenirano stanje, (b) krupnozrno tlo, drenirano stanje (prema Broms, 1964a i 1964b)

# Poprečno opterećeni piloti

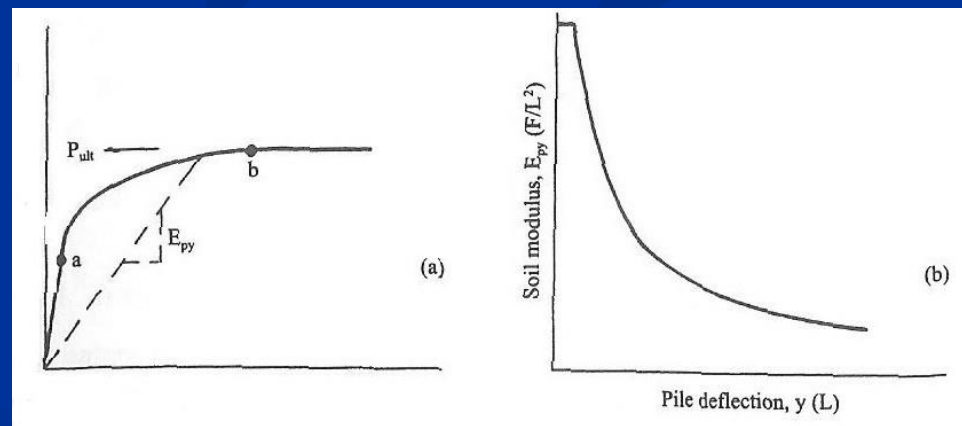
SAVITLJIVI PILOTI – interakcija obuhvaća nosivost i pomake tla duž pilota

Raspodjela pritisaka  
na pilote prije i nakon  
horizontalnog pomaka

Model pilota sa  
skupom  $p - y$   
krivulja

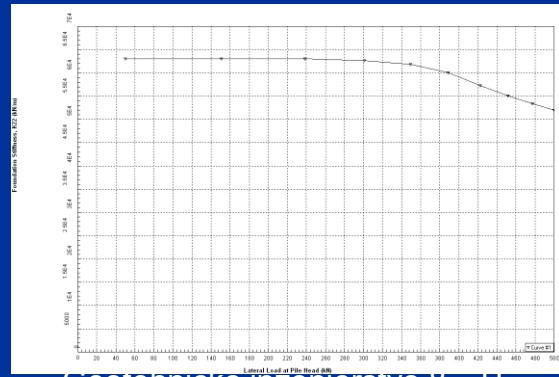
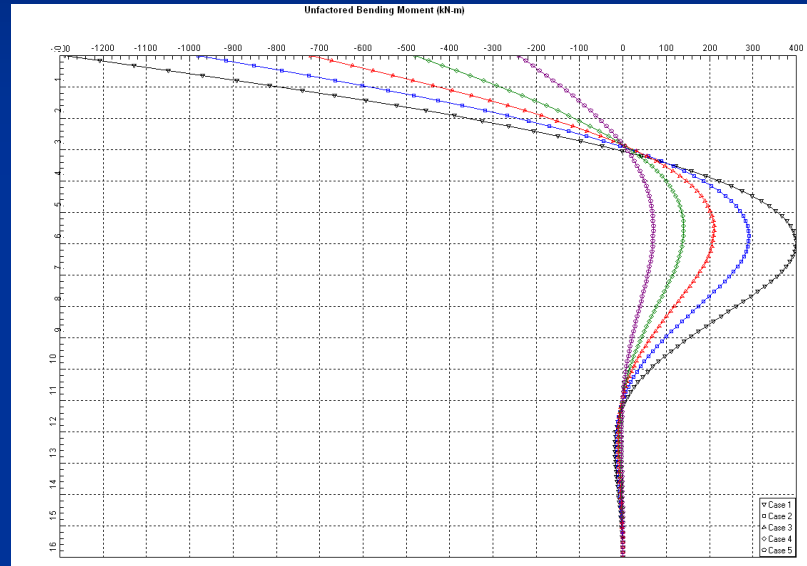
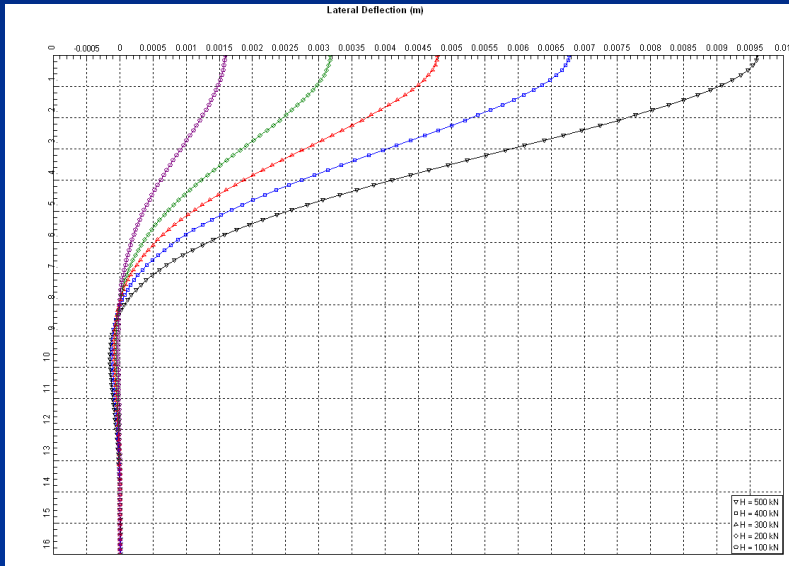


Tipična  $p - y$  krivulja i rezultirajući  
modul reakcije podloge



# Poprečno opterećeni piloti

Dijagrami pomaka, momenata savijanja i krutosti pilota opterećenog različitim poprečnim silama



# Projektiranje pilota prema Eurokodu 7

Uzdužno (osno) opterećeni piloti  
– otpornost R

Parcijalni koeficijenti se razlikuju:

- Za stopu i plašt ili ukupno
- Za različite vrste pilota

$$R_{c;d} = \frac{R_{b;k}}{\gamma_b} + \frac{R_{s;k}}{\gamma_s} \quad R_{c;d} = \frac{R_{b;k} + R_{s;k}}{\gamma_t} = \frac{R_{c;k}}{\gamma_t}$$

Za poprečno opterećene pilote –  
parcijalni koeficijenti se aktiviraju  
na razini parametara tla

Proračun karakteristične vrijednosti R  
- Korelacijski koeficijenti  $\xi$

$$R_{c;k} = \min \left[ \frac{(R_{c;m})_{\text{srednje}}}{\xi_i}; \frac{(R_{c;m})_{\text{min}}}{\xi_j} \right]$$

Tablica 6-9 Korelacijski koeficijenti za određivanje karakterističnih otpornosti tla uzdužno opterećenih pilota prema EN 1997:2004

iz statičkog probnog opterećenja ( $n$ = broj probno opterećenih pilota)							
$n =$	1	2	3	4	$\geq 5$		
$\xi_1$	1.40	1.30	1.20	1.10	1.00		
$\xi_2$	1.40	1.20	1.05	1.00	1.00		
iz parametara tla ( $n$ = broj bušotina, sondažnih profila)							
$n =$	1	2	3	4	5	7	10
$\xi_3$	1.40	1.35	1.33	1.31	1.29	1.27	1.25
$\xi_4$	1.40	1.27	1.23	1.20	1.15	1.12	1.08
iz dinamičkih pokusa ( $n$ = broj ispitanih pilota)							
$n =$	$\geq 2$	$\geq 5$	$\geq 10$	$\geq 15$	$\geq 20$		
$\xi_5$	1.60	1.50	1.45	1.42	1.40		
$\xi_6$	1.50	1.35	1.30	1.25	1.25		